

AUTOMATYZACJA OBLCZEŃ PARAMETRÓW SYSTEMU WYKORZYSTUJĄCEGO CYKLICZNOŚĆ PRACY URZĄDZENIA

Maciej Sporysz, Sławomir Kurpaska

Katedra Inżynierii Rolniczej i Informatyki, Uniwersytet Rolniczy w Krakowie

Streszczenie. W pracy zaprezentowano narzędzie umożliwiające pełną automatyzację obliczeń parametrów pracy systemu ogrzewania tunelu foliowego za pomocą pompy ciepła. Dane były monitorowane i archiwizowane przez Komputerowy System Pomiarowy zainstalowany w obiekcie doświadczalnym mieszczącym się na terenie Wydziału Agroinżynierii Uniwersytetu Rolniczego w Krakowie. Aplikacja pozwala na wyznaczenie długości cyklu pracy pompy ciepła, tj. czasu ładowania i rozładowywania zbiornika buforowego, ilości ciepła pozyskanej z poziomych i pionowych wymienników ciepła w każdej z zainstalowanych konfiguracji, a także na określenie średniej temperatury wewnętrz tunelu foliowego, temperatury otoczenia, prędkości wiatru i natężenia promieniowania słonecznego.

Słowa kluczowe: tunel foliowy, pompa ciepła, automatyzacja obliczeń, gruntowe wymienniki ciepła

Wstęp

Jednym z najważniejszych czynników plonotwórczych w produkcji szklarniowej jest temperatura wewnętrz obiektu. To ona wpływa na właściwy rozwój uprawianych roślin, a co za tym idzie na ilość, jakość oraz termin zbioru. Na zmiany temperatury powietrza wewnętrz szklarni wpływ ma wiele czynników klimatycznych – natężenie promieniowania słonecznego, wilgotność powietrza, prędkość wiatru. Aby zapewnić optymalną temperaturę dla rozwoju roślin, w okresie zapotrzebowania na ciepło, w niektórych obiektach ogrodniczych instaluje się systemy ogrzewania umożliwiające sterowanie mikroklimatem szklarni. Przykładem tego typu rozwiązań jest instalowanie pompy ciepła wraz z regulatorami przepływu czynnika roboczego w układzie ogrzewania. W literaturze istnieje szereg doniesień wyników badań omawiające efekty energetyczne oraz efektywność pracy pompy ciepła. Xu i wsp. [2006] analizowali efekty energetyczne pompy ciepła, w której jako dolne źródło ciepła wykorzystano powietrze atmosferyczne podgrzewane w płaskich kolektorach cieczowych. Huang i Lee [2004] na podstawie wieloletnich badań określili zużycie energii elektrycznej wykorzystywanej do napędu pompy ciepła. Wyliczenia zostały przeprowadzone w odniesieniu do jednostkowego przyrostu temperatury cieczy zgromadzonej w zbiorniku buforowym pompy ciepła.

Kaygusuz i Ayhan [1999] opisali i analizowali system współpracy pompy ciepła (jako dolne źródło wykorzystane zostało powietrze atmosferyczne) z górnym, w którym energia

magazynowana była a akumulatorze wypełnionym ciałem podlegającym przemianie fazowej. Określili współczynnik efektywności pracy (COP) systemu. Nagano i wsp. [2006] opracowali nowatorski system do wizualizacji i analizy efektywności pracy pompy ciepła, w której jako dolne źródło wykorzystano wymiennik gruntowy.

Kaygusuz [1995] przeprowadził badania symulacyjne dla systemu, w którym dolne źródło ciepła pobierało energię powstającą z konwersji promieniowania słonecznego w powietrznych kolektorach słonecznych, zaś pompa ciepła współpracowała z akumulatorem wypełnionym ciałem stałym podlegającym przemianie fazowej.

Przeprowadzenie całościowej analizy pracy pompy ciepła wymaga przeanalizowania poszczególnych cykli jej pracy, bowiem istota jej działania składa się z występujących po sobie naprzemian etapów: cyklu ładowania zbiornika magazynującego ciepło oraz cyklu jego rozładowania. Zmiany w długości każdego z nich mają charakter stochastyczny, zależą od wielu różnych czynników, zatem trudno jest przewidzieć jego długość. Określenie zależności pomiędzy długością pełnego cyklu pracy pompy ciepła (łączny czas ładowania i rozładowywania pompy) a warunkami otoczenia pozwoli na właściwy dobór pompy ciepła (mocy grzewczej) do obiektu. Do określenia takich zależności niezbędne są specjalistyczne stanowiska badawcze. Jednym z nich jest obiekt zlokalizowany na terenie Wydziału Agroinżynierii Uniwersytetu Rolniczego w Krakowie, szczegółowo opisany w pracy [Kurpaska, Sporysz 2007].

Rozwój nowoczesnych technologii pozwala na monitorowanie procesów zachodzących w środowisku z dowolną częstotliwością. Ten ciągły odczyt i zapis danych powoduje jednakże, dzięki nagromadzeniu ogromnej ilości danych, problem z ich dalszą analizą. Istnieje, więc konieczność wypracowania mechanizmów i efektywnych narzędzi służących do automatyzacji obliczeń wybranych parametrów. Stąd głównym celem pracy jest opracowanie efektywnego narzędzia służącego do automatycznej analizy pracy pompy ciepła ogrzewającej powietrze w tunelu foliowym.

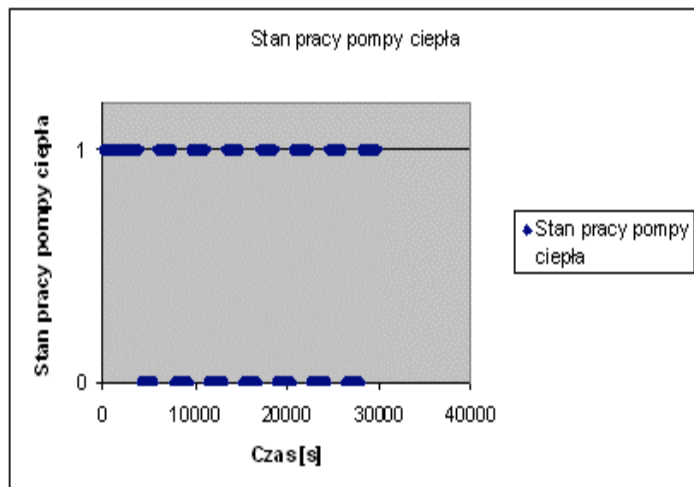
Materiał i metoda

Przedmiotem analizy był system ogrzewania, w którym zainstalowano pompę ciepła w ogrzewanym obiekcie (tunel foliowy) zlokalizowany w obiektach Wydziału Agroinżynierii UR w Krakowie. Dzięki komputerowemu systemowi monitorowania i archiwizacji danych możliwe było śledzenie zmian kilkudziesięciu parametrów pracy pompy ciepła w sposób niemalże ciągły (częstotliwość zapisu została ustalona zgodnie z twierdzeniem Shanonna na 30s - w ciągu doby dysponowano 2880 pomiarami). Mierzonymi i zapisywanyymi wielkościami były m.in.:

- parametry otaczającego klimatu i mikroklimatu wewnętrz obiektu (temperatura, natężenie promieniowania słonecznego, prędkość wiatru);
- temperatura czynników obiegowych (woda w instalacji systemu ogrzewania, czynnik obiegowy w elementach dolnego i górnego źródła ciepła pompy ciepła);
- strumienie przepływających czynników (woda, powietrze) w instalacji doprowadzającej ciepło do wnętrza obiektu;
- stan pracy pompy ciepła;
- temperatury gruntu w zróżnicowanej konfiguracji przestrzennej.

Zainstalowane w obiekcie czujniki monitorujące stan pracy pompy ciepła (ładowanie, rozładowanie zbiornika buforowego), współpracujące z Komputerowym Systemem Pomiarowym (KSP) generowały zróżnicowaną wartość napięcia prądu. Napięcie U_1 oznaczało pracę pompy ciepła, natomiast napięcie U_2 utożsamiło czas przerwy między kolejnymi cyklami pracy (regeneracja ośrodka). Oczywiście napięcia te ulegały wahaniom, zatem by program komputerowy mógł odczytać i właściwie określić stan pracy pompy ciepła przyjęto zasadę, iż napięcie większe niż U_1 określa stan spoczynku (0), w przeciwnym wypadku pompa ciepła pracowała (1). W implementacji komputerowej zapisano to w postaci:

```
Public Function stan_pompy(i)
    If napiecie(i) >  $U_1$  Then
        stan_pompy = 0
    Else
        stan_pompy = 1
    End If
End Function
```



Rys. 1. Stan pracy pompy ciepła w poszczególnych jednostkach czasowych
Fig. 1. Heat pump operation state in individual time units

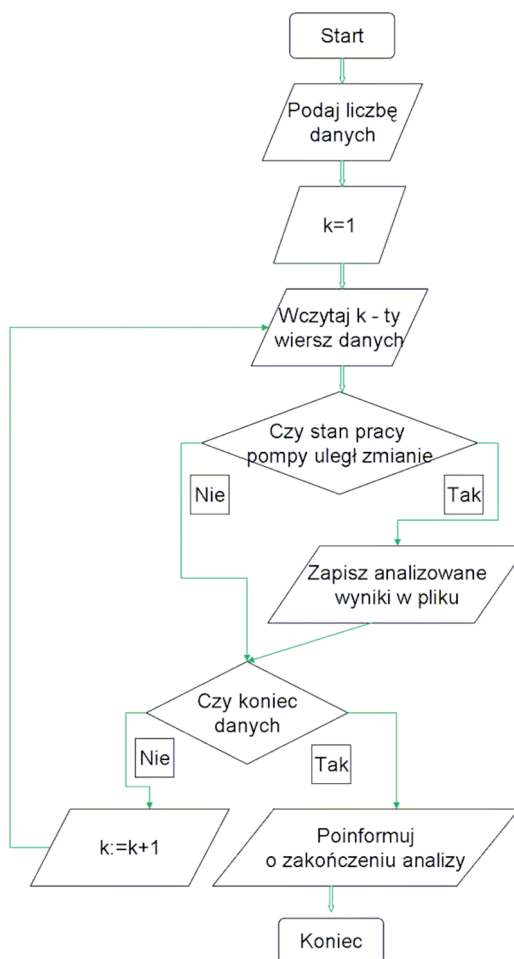
Okres pracy pompy jak i jej rozładowania w ciągu doby był zróżnicowany (rys. 1). Wobec tego kolejnym zadaniem aplikacji było określenie długości cykli pracy pompy ciepła. W tym celu program porównuje różnicę stanów pracy pompy ciepła w kolejnych krokach czasowych.

```
Public Function koniec_cyklu(i)
    koniec_cyklu = stan_pompy(i - 1) - stan_pompy(i)
End Function
```

Tak określona zmienna „koniec_cyku” może przyjąć jedną spośród trzech wartości:

- 1 – pompa ciepła zaczyna pobierać ciepło z gruntu;
- 0 – pompa jest w tym samym stanie co poprzednio;
- 1 – pompa przechodzi w stan rozładowania.

Do momentu zakończenia pełnego cyklu pracy pompy ciepła program sumuje liczbę jednostek ładowania i rozładowywania zbiornika buforowego, ilości ciepła pozyskanej z pionowych oraz poziomych wymienników ciepła w każdej z badanych konfiguracji. Informuje także o średniej temperaturze wewnętrz i na zewnątrz obiektu, średniej prędkości wiatru oraz średnim natężeniu promieniowania słonecznego. Schemat jego działania przedstawiony jest na rys. 2.



Rys. 2. Algorytm programu do automatyzacji obliczeń
 Fig. 2. Algorithm of an application allowing to automate computations

Automatyzacja obliczeń...

Ilość odebranego ciepła w kroku czasowym jest wyznaczona na podstawie standardowej zależności w postaci:

$$Q = m \cdot c_p \cdot (t_z - t_p) d\tau \quad (1)$$

gdzie

- m – strumień przepływającego czynnika [$\text{kg} \cdot \text{s}^{-1}$];
- t_z, t_p – temperatura zasilania i powrotu czynnika grzejnego [$^{\circ}\text{C}$];
- $d\tau$ – krok czasowy [s].

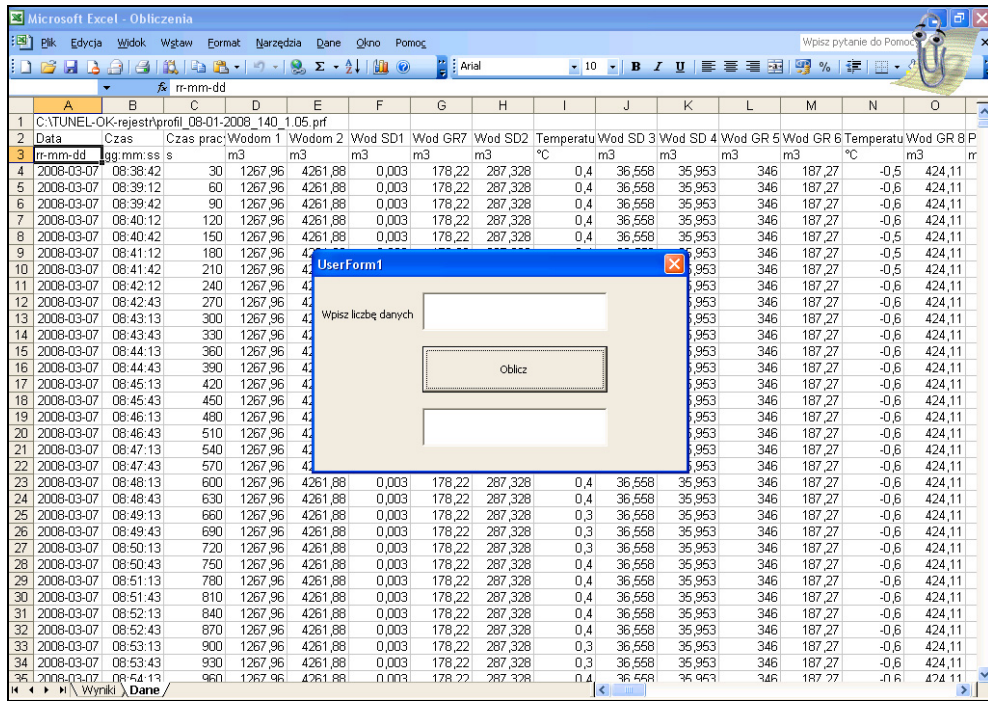
Wyniki i dyskusja

Na rys. 3. przedstawiono przykładowy plik z danymi zapisanymi przez Komputerowy System Pomiarowy. W tym pliku rejestrowano i archiwizowano parametry mierzone w dniach 7-10 marca 2008 roku. Łącznie w pliku zarchiwizowanych zostało 8702 wierszy reprezentujących kolejne kroki czasowe. Każdy wiersz składał się z kilkudziesięciu wielkości, m.in. wskazań wodomierzy oraz temperatury czynników roboczych, temperatury powietrza zewnętrznego, wewnętrznego, temperatury gruntu w różnych punktach pomiarowych, natężenia promieniowania słonecznego, prędkości wiatru, stanu pracy pomp itp.

Rys. 3. Plik danych poddanych analizie

Fig. 3. File of data subject to analysis

Po uruchomieniu aplikacji należy podać liczbę wierszy do wczytania, a następnie wcisnąć przycisk "Oblicz" (rys. 4.). Program tworzy arkusz „Wyniki”, w którym zapisuje obliczone parametry pracy systemu ogrzewania tunelu foliowego za pomocą pompy ciepła.

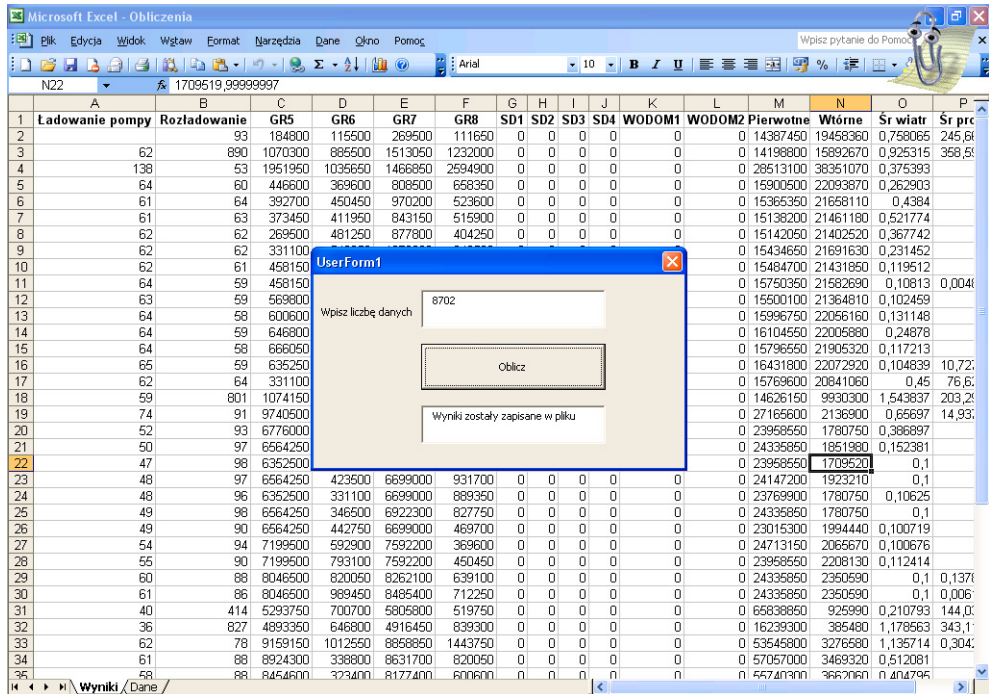


Rys. 4. Okno programu
Fig. 4. Application window

O zakończeniu obliczeń program informuje nas w oknie dialogowym (rys. 5.).

Na rys. 5. w kolumnie „A” przedstawiona jest długość ładowania pompy ciepła, „B” – rozładowywania zbiornika buforowego. W analizowanym przypadku otrzymano 47 cykli pracy. Średnia długość ładowania zbiornika buforowego pompy ciepła to 52 (26 min), zaś średnia długość rozładowywania to 132 (66 min). Można zauważyć, że w przedstawionym okresie pracowały tylko wymienniki poziome (w czterech różnych konfiguracjach - GR5, GR6, GR7, GR8 – kolumny „C-F”), natomiast wymienniki pionowe (SD1, SD2, SD3, SD4 – kolumny „G-J”) pozostały wyłączone.

Automatyzacja obliczeń...



The screenshot shows a Microsoft Excel window with a UserForm dialog box overlaid. The UserForm has a title 'UserForm1' and contains two text input fields: 'Wpisz liczbę danych' with the value '8702' and a button labeled 'Oblicz'. Below the button, a message box says 'Wyniki zostały zapisane w pliku'. The main Excel spreadsheet contains data from row 1 to 36, with columns A through P. The first few rows show data for 'Ladowanie pompy' and 'Rozładowanie' with various numerical values. The last few rows show data for 'WODOM1', 'WODOM2', 'Pierwotne', 'Wtórne', 'S̄ wiata', and 'S̄ pr'. The UserForm is centered over the spreadsheet.

	A	B	C	D	E	F	G	H	I	J	K	L	M	N	O	P			
1	Ladowanie pompy	Rozładowanie	GR5	GR6	GR7	GR8	S01	S02	S03	S04	WODOM1	WODOM2	Pierwotne	Wtórne	S̄ wiata	S̄ pr			
2			93	184800	115500	269500	111660	0	0	0	0	0	0	14367450	19458360	0,758065	245,81		
3	62	890	1070300	685500	1513050	1232000	0	0	0	0	0	0	0	14198800	15992670	0,925315	356,51		
4	138	53	1951950	1036650	1466850	2594900	0	0	0	0	0	0	0	28513100	38351070	0,375393			
5	64	60	446600	369600	808500	658350	0	0	0	0	0	0	0	15900500	22093870	0,262903			
6	61	64	392700	450450	970200	523600	0	0	0	0	0	0	0	15365350	21568110	0,4384			
7	61	63	373450	411950	843150	515900	0	0	0	0	0	0	0	15138200	21461180	0,521774			
8	62	62	269500	481250	877800	404250	0	0	0	0	0	0	0	15142050	21402520	0,367742			
9	62	62	331100	346500	100000	100000	0	0	0	0	0	0	0	15434650	21691630	0,231452			
10	62	61	458150	458150	458150	458150	0	0	0	0	0	0	0	15484700	21431850	0,119512			
11	64	59	569800	600600	600600	600600	0	0	0	0	0	0	0	15750350	21582690	0,10813	0,0048		
12	63	59	600600	646800	646800	646800	0	0	0	0	0	0	0	15500100	21364810	0,102459			
13	64	58	666050	666050	666050	666050	0	0	0	0	0	0	0	15996750	22056160	0,131148			
14	64	59	635250	635250	635250	635250	0	0	0	0	0	0	0	16104550	22005880	0,24878			
15	64	58	331100	331100	331100	331100	0	0	0	0	0	0	0	15796550	21905320	0,117213			
16	65	59	1074150	801	801	801	0	0	0	0	0	0	0	16431800	22072920	0,104839	10,72		
17	62	64	91	9740500	91	91	91	0	0	0	0	0	0	0	15769600	20841060	0,45	76,6	
18	59	801	6776000	52	52	52	0	0	0	0	0	0	0	0	14626150	9930300	1,543837	203,21	
19	74	91	7199500	94	94	94	0	0	0	0	0	0	0	0	27185600	2136900	0,656897	14,93	
20	52	93	7199500	90	90	90	0	0	0	0	0	0	0	0	23958850	1780750	0,386897		
21	50	97	6564250	47	98	6352500	0	0	0	0	0	0	0	0	24335850	1651960	0,152381		
22	47	98	1709520	48	97	6564250	423500	6699000	931700	0	0	0	0	0	0	23958850	1709520	0,1	
23	48	97	6352500	331100	6599000	889350	0	0	0	0	0	0	0	0	24147200	1923210	0,1		
24	48	96	346600	666050	6922300	827750	0	0	0	0	0	0	0	0	23769900	1780750	0,10625		
25	49	98	666050	442750	6699000	469700	0	0	0	0	0	0	0	0	24336850	1780750	0,1		
26	49	90	7199500	592900	7592200	369600	0	0	0	0	0	0	0	0	23015300	1994440	0,100719		
27	54	94	7199500	793100	7592200	450450	0	0	0	0	0	0	0	0	24713150	2065670	0,100676		
28	55	90	7199500	793100	7592200	8262100	0	0	0	0	0	0	0	0	23958850	2208130	0,112414		
29	60	88	8046500	820050	8262100	639100	0	0	0	0	0	0	0	0	24335850	2350590	0,1	0,1371	
30	61	88	8046500	989450	8485400	712250	0	0	0	0	0	0	0	0	24335850	2350590	0,1	0,006	
31	40	414	5293750	700700	5805800	519750	0	0	0	0	0	0	0	0	65838850	925990	0,210793	144,0	
32	36	827	4893350	646800	4916450	839300	0	0	0	0	0	0	0	0	16239300	385480	1,178563	343,1	
33	62	78	9169150	1012550	8858850	1443750	0	0	0	0	0	0	0	0	53545800	3276680	1,135714	0,304	
34	61	88	8924300	338800	8631700	820050	0	0	0	0	0	0	0	0	57057000	3469320	0,512081		
35	58	88	8454600	323400	8177400	600600	0	0	0	0	0	0	0	0	55740300	3662060	0,474795		

Rys. 5. Plik z wynikami analizy
Fig. 5. File containing analysis results

Podsumowanie

Opracowany program komputerowy oblicza w sposób szybki i efektywny długość lądowania i rozładowywania pompy oraz ilość ciepła odzyskanego z poszczególnych wymienników ciepła w każdym z cykli. Ponadto, wylicza również inne istotne wielkości, przykładowo: średnią temperaturę na zewnątrz obiektu oraz wewnętrz tunelu foliowego, a także średnie natężenie promieniowania słonecznego i średnią prędkość wiatru. Po zastosowaniu pewnych modyfikacji może również służyć obliczaniu innych parametrów, jak chociażby wydajności cieplnej grzejników w ogrzewanych obiektach, analizy kotłów w tradycyjnych systemach grzewczych, czy systemów chłodniczych w przechowalniach.

Bibliografia

- Huang B.J., Lee C.P. 2004. Long-term performance of solar-assisted heat pump water heater. Renewable Energy. 29(4). s. 633-639.
 Kaygusuz K. 1995. Performance of solar-assisted heat-pump systems. Applied Energy. 51(2). s. 93–109.
 Kaygusuz K., Ayhan T. 1999. Experimental and theoretical investigation of combined solar heat pump system for residential heating. Energy Conversion and Management. 40(13). s. 1377-1396.

- Kurpaska S., Sporysz M.** 2007. Stanowisko do analizy pracy pomp ciepła wykorzystywanych do ogrzewania tuneli foliowych. Inżynieria Rolnicza. 9(97). s. 119-125.
- Nagano K., Katsura T., Takeda S.** 2006. Development of a design and performance prediction tool for the ground source heat pump system. Applied Thermal Engineering. 26(14-15). s. 1578-1592.
- Xu G., Zhang A., Deng S.** 2006. Simulation study on the operating performance of a solar-air source heat pump water heater. Applied Thermal Engineering. 26(11-12). s. 1257-1265.

AUTOMATION IN COMPUTING OF PARAMETERS FOR A SYSTEM USING DEVICE OPERATION PERIODICITY

Abstract. The paper presents a tool allowing to fully automate computing of operation parameters for foil tunnel heating system using heat pump. The data was monitored and archived by Computer Measuring System installed in an experimental facility located at the Faculty of Agroengineering, the University of Agriculture in Krakow. The application allows to determine heat pump work cycle duration, that is thermal store charging and discharging time, heat amount acquired from horizontal and vertical heat exchangers in each of the installed configurations, and to specify average temperature inside the foil tunnel, ambient temperature, wind velocity and solar radiation intensity.

Key words: foil tunnel, heat pump, computing automation, ground heat exchangers

Adres do korespondencji:

Sławomir Kurpaska, e-mail: rtkurpas@cyf-kr.edu.pl
Katedra Inżynierii Rolniczej i Informatyki
Uniwersytet Rolniczy w Krakowie
ul. Balicka 116B
30-149 Kraków